

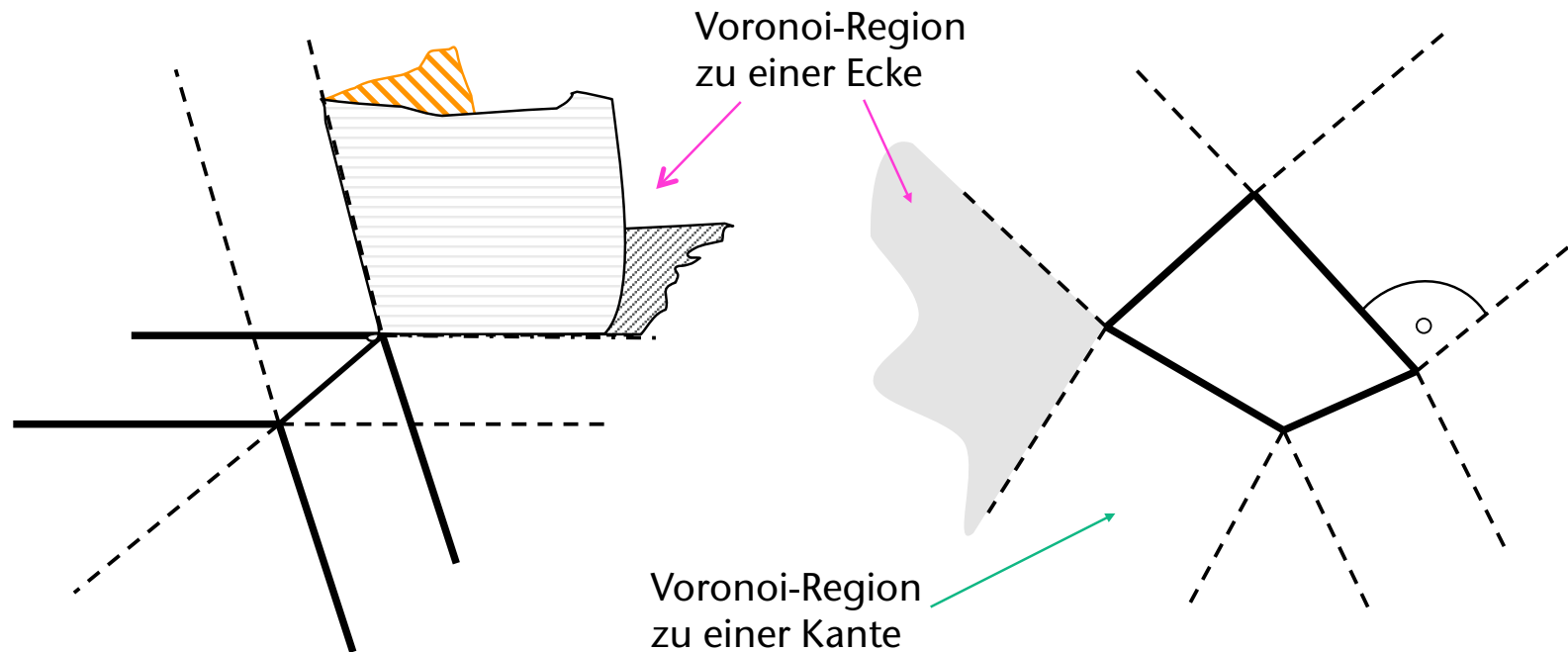


Voronoi-Diagramme zu Polyedern



Voronoi-Regionen in 3D

Voronoi-Regionen in 2D

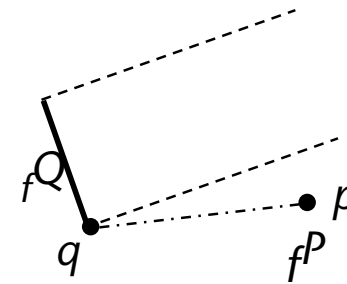


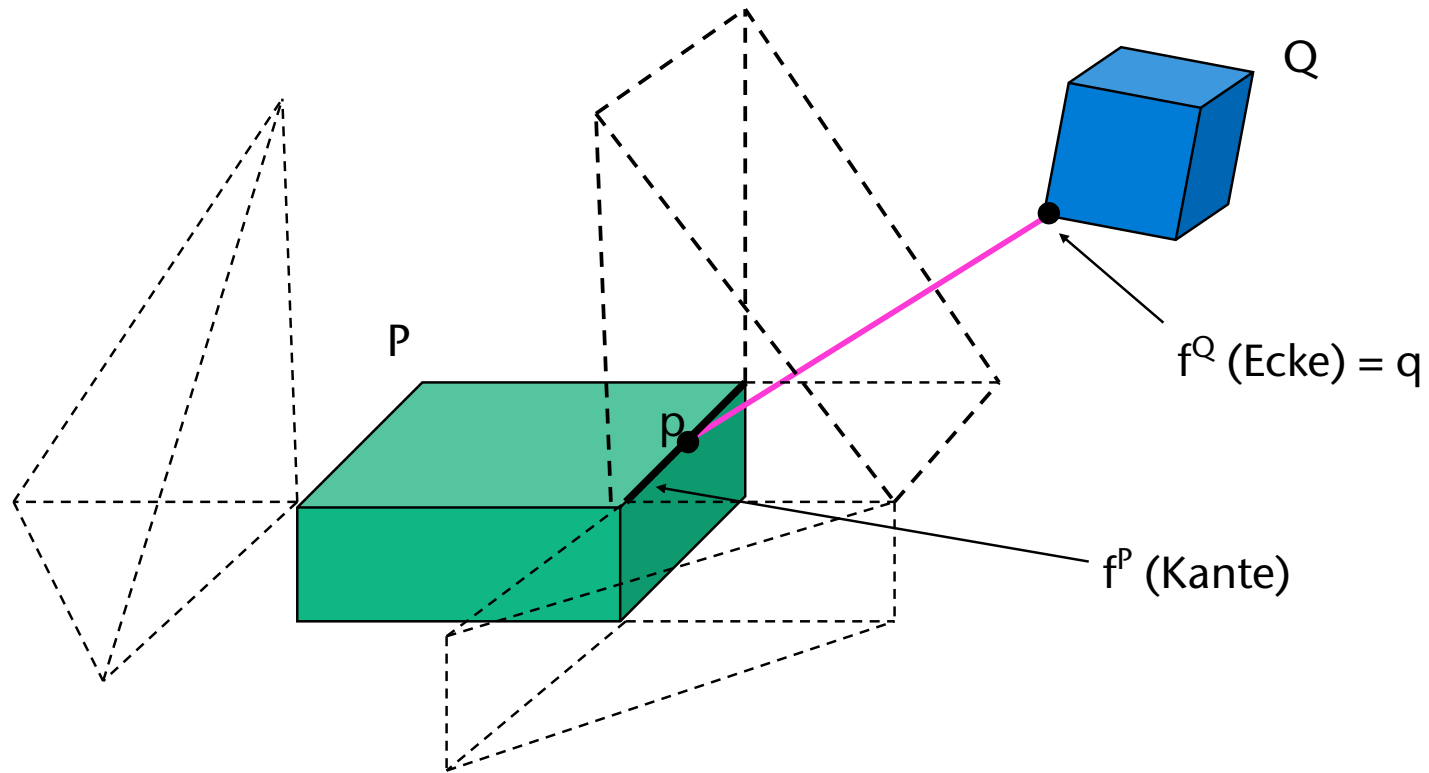
Äußere Voronoi-Regionen sind für konvexe Objekte
sehr einfach zu konstruieren!
(Innere Voronoi-Regionen brauchen wir nicht.)



Closest Features

- Definition *Feature* f^P :=
Ecke, Kante oder Polygon eines Polyeders P .
- Definition "*Closest Feature*":
Seien f^P und f^Q zwei Features auf P bzw. Q , und seien p, q Punkte auf f^P bzw. f^Q die den minimalen Abstand von P und Q realisieren, d.h., $d(P, Q) = d(f^P, f^Q) = \|p - q\|$.
Dann heißen "*closest features*".
- Lemma:
Sei $V(f)$ die Voronoi-Region zu einem Feature f ;
 f^P, f^Q sind "*closest features*" $:\Leftrightarrow$
 p liegt in $V(f^Q)$, q liegt in $V(f^P)$.







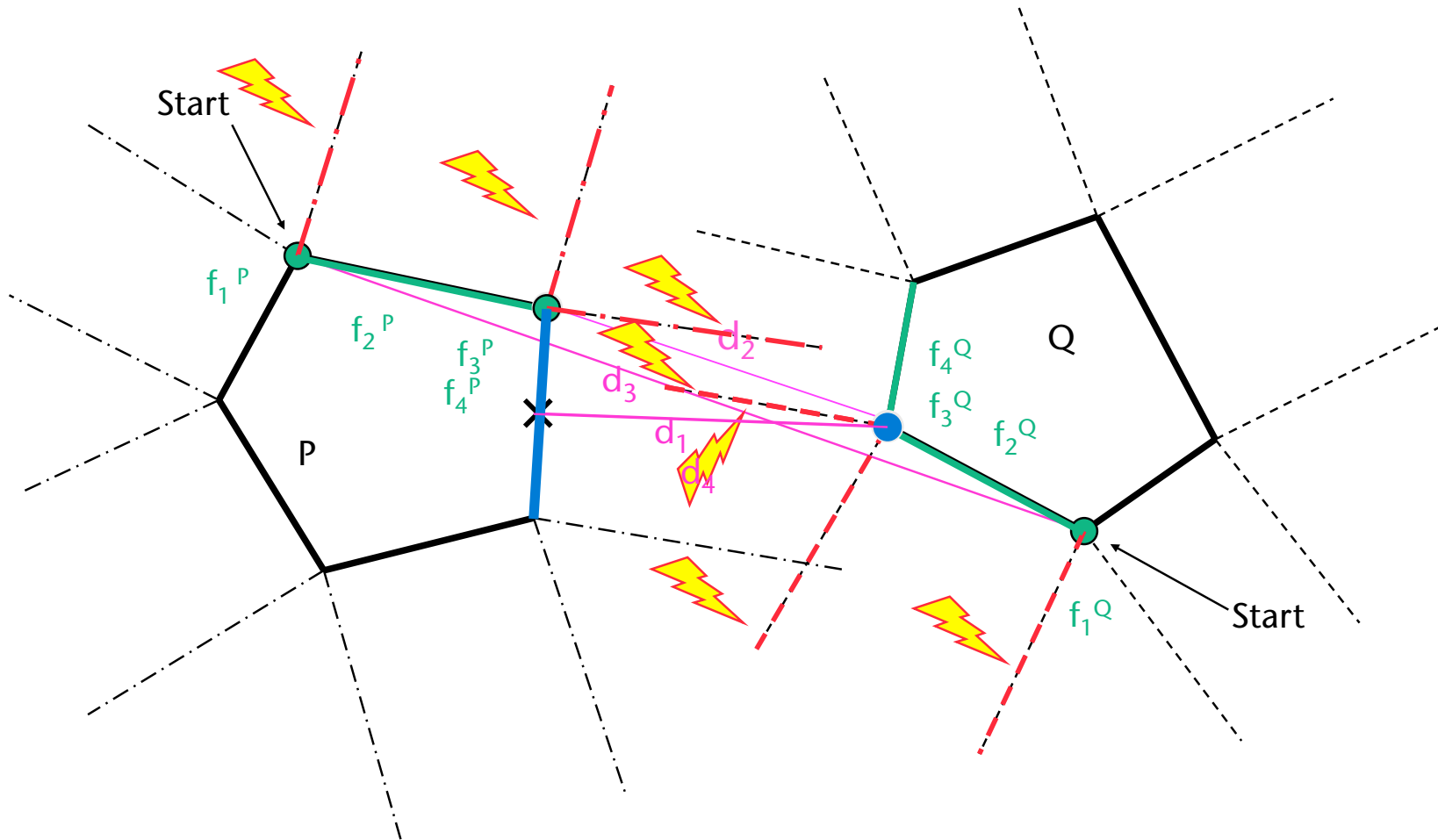
Algorithmus

```
starte mit zwei beliebigen Features  $f^P, f^Q$  auf P bzw. Q
while (  $f^P, f^Q$  ) sind noch nicht closest features &&  $d( f^P, f^Q ) > 0$ 
    if (  $f^P, f^Q$  ) wurde schon einmal betrachtet
        return "Kollision" (weil Zyklus)
    bestimme p und q, die den Abstand zwischen  $f^P, f^Q$  realisieren
    if  $p \in V_q$  und  $q \in V_p$ 
        return "keine Kollision", (  $f^P, f^Q$  ) sind closest features
    if ex. eine Seite von  $V_q$  bzgl. der p auf der falschen Seite liegt
         $f^P \leftarrow$  das Feature der "dahinter" liegenden Voronoi-Region
    analog für q, falls  $q \notin V_p$ 
if  $d( f^P, f^Q ) > 0$ 
    return "keine Kollision"
else
    return "Kollision"
```

Achtung: bei Kollision befinden sich einige Features im Innern des anderen Objektes, aber im Innern ex. keine Voronoi-Regionen!



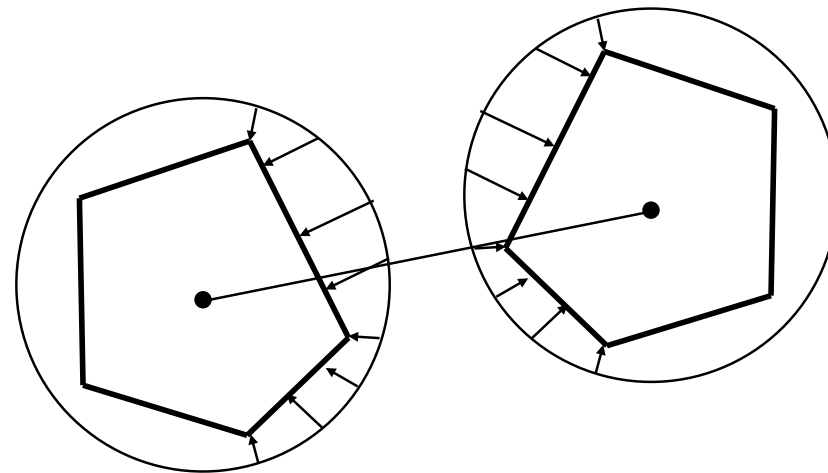
Visualisierung des Algorithmus'





Anmerkungen

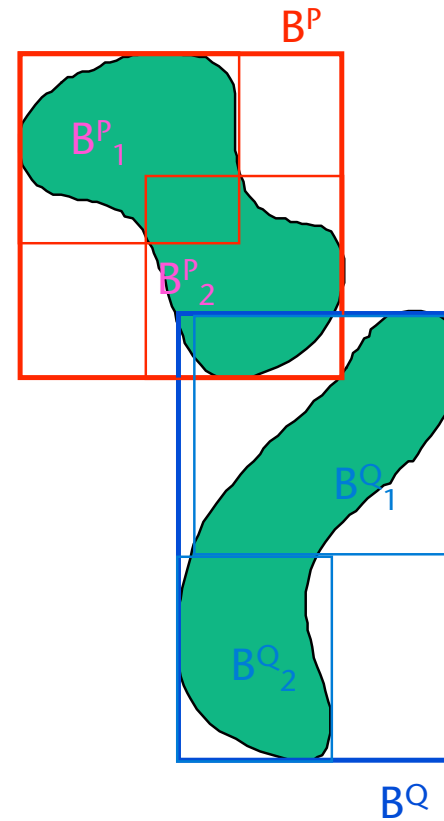
- Kleine Denkaufgabe:
Das *Voronoi-Diagramm* braucht man eigentlich nicht!
(aber mit *Voronoi-Diagramm* ist der Algo schneller)
- Berechnungsdauer hängt ab vom "Maß" der zeitlichen Kohärenz
- Verbesserung durch *Lookup-Table*:
trage sphärische Koordinaten der Features
in Tabelle ein





Hierarchische Kollisionserkennung

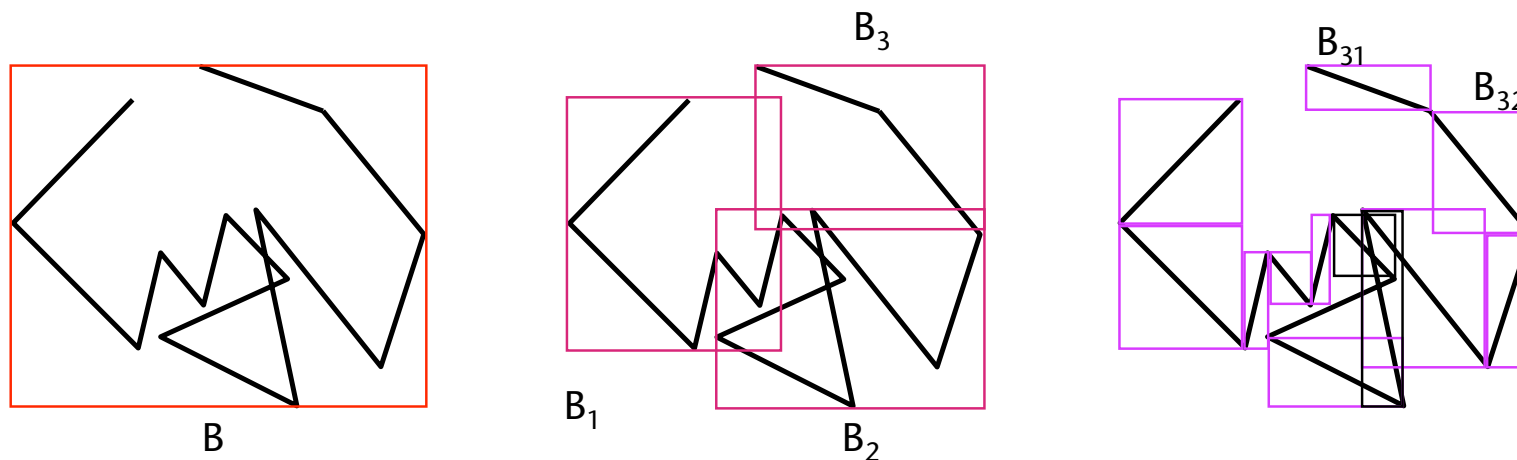
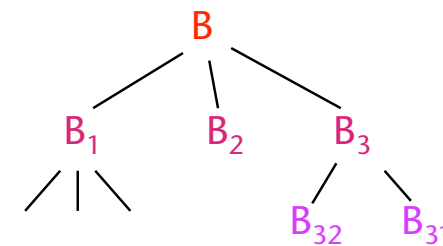
- Für “*Polygon soups*”
- Algorithmentechnik:
Divide & Conquer





Bounding Volume Hierarchy (BVH)

- Schließe alle Polygone aus P in ein Hüllvolumen (*bounding volume*) $BV(P)$ ein
 - Teile P auf in $P_1, P_2, P_3, \dots, P_n$, mit
$$P_1 \cup P_2 \cup P_3 \cup \dots \cup P_n = P$$
 - Rekursiv für die P_i .
- *bounding volume hierarchy*





Simultane Traversierung

traverse(X, Y)

if X,Y do not overlap then

return

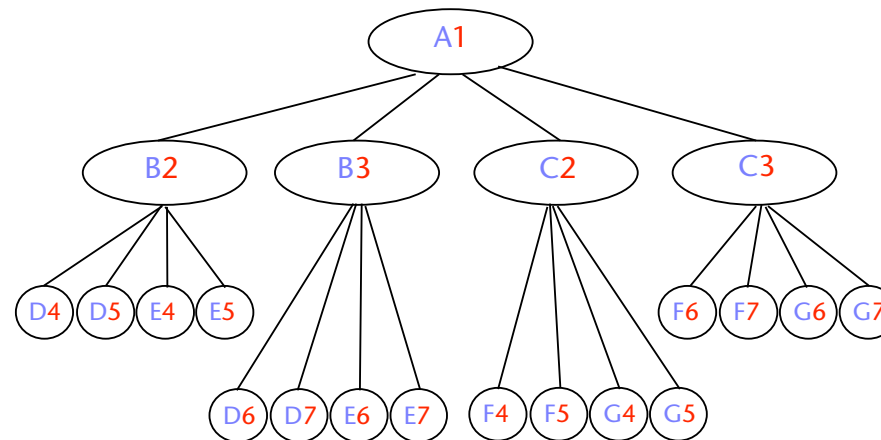
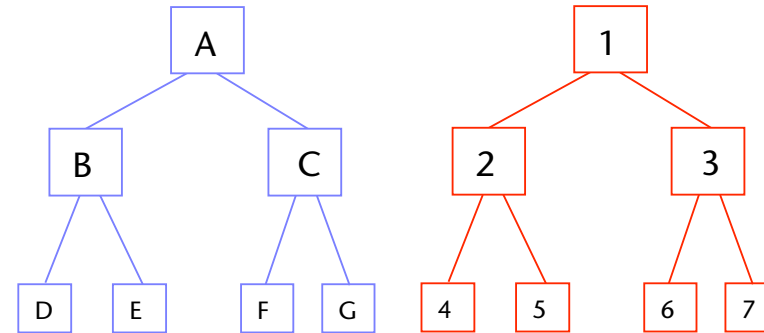
if X,Y are leaves then

check polygons

else

for all children pairs do

traverse(X_i, Y_j)

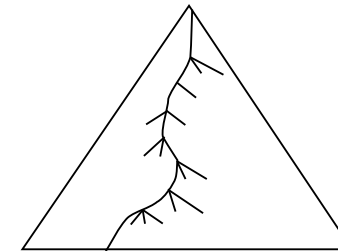
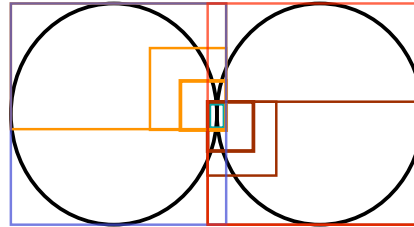




Einfache Laufzeit-Abschätzung



- Best-case: $O(\log n)$



Bounding Volume Test Tree (BVTT)

- Einfache *average-case* Abschätzung:

- $P[k]$ = Wahrsch.keit daß genau k Kinderpaare überlappen, $k \in [0, \dots, 4]$

$$P[k] = \binom{4}{k}, \quad P[0] = \frac{1}{16}$$

- Annahme: alle Ereignisse sind gleich wahrscheinlich
- Erwartete Laufzeit :

$$T(n) = \frac{1}{16} \cdot 0 + \frac{4}{16} \cdot T\left(\frac{n}{2}\right) + \frac{6}{16} \cdot 2T\left(\frac{n}{2}\right) + \frac{4}{16} \cdot 3T\left(\frac{n}{2}\right) + \frac{1}{16} \cdot 4T\left(\frac{n}{2}\right)$$

$$T(n) = 2T\left(\frac{n}{2}\right) \in O(n)$$

- In der Praxis besser

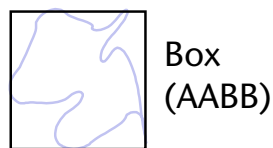


Bounding Volumes

Anforderungen:

- *sehr* schneller Überlappungstest
- auch dann, wenn die *Bounding Volumes* rotiert oder transl. sind!
→ “*einfache*” *Bounding Volumes*
- eine Überdeckung des ganzen Raumes sollte möglichst wenig mehrfach belegten Raum haben → "*tight BVs*"

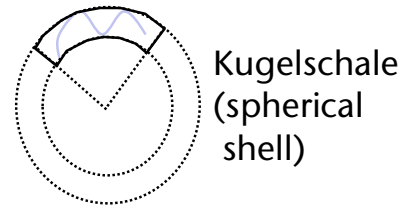
Einige mögliche *Bounding Volumes*:



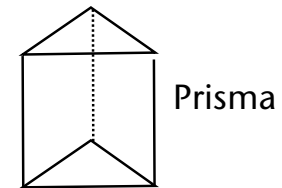
Box
(AABB)



k-DOP
hier z.B.
8-DOP



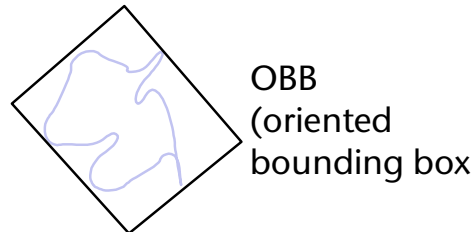
Kugelschale
(spherical
shell)



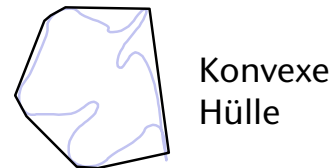
Prisma



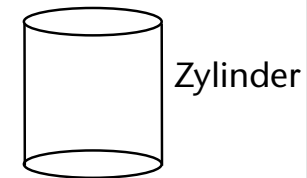
Kugel



OBB
(oriented
bounding box)



Konvexe
Hülle



Zylinder



Die Minkowski-Summe

- Hermann Minkowski (22. 6. 1864 – 12. 1. 1909), deutscher Mathematiker und Physiker
- Definition (*Minkowski-Summe*):
Seien A und B Teilmengen eines Vektorraums;
die Minkowski-Summe von A und B ist

$$A \oplus B = \{\mathbf{a} + \mathbf{b} \mid \mathbf{a} \in A, \mathbf{b} \in B\}$$

- Entsprechend die *Minkowski-Differenz*:

$$A \ominus B = \{\mathbf{a} - \mathbf{b} \mid \mathbf{a} \in A, \mathbf{b} \in B\}$$

- Zusammenhang zwischen *Minkowski-Summe* und *-Differenz*:

$$A \ominus B = A \oplus (-B)$$

- Anwendungen: Computergraphik, Bildverarbeitung, Lineare Optimierung, Roboter-Pfadplanung, ...





Eigenschaften

- *Minkowski-Summen* sind:

- Kommutativ:

$$A \oplus B = B \oplus A$$

- Assoziativ:

$$A \oplus (B \oplus C) = (A \oplus B) \oplus C$$

- Distributiv bzgl. Vereinigung:

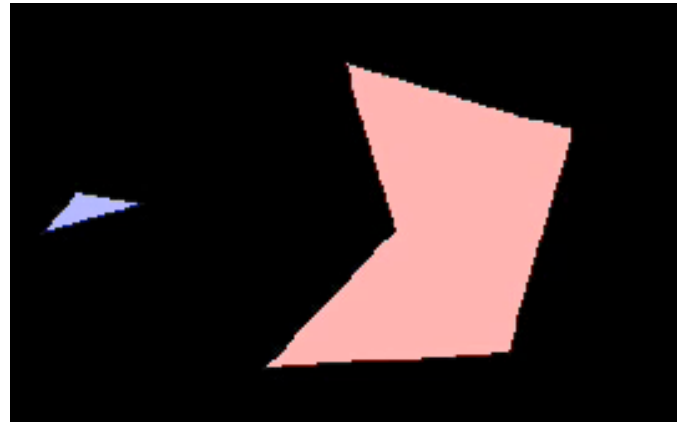
$$A \oplus (B \cup C) = (A \cup B) \oplus (A \cup C)$$

- Invariant (in gewissem Sinne)
gegenüber Translation:

$$T(A) \oplus B = T(A \oplus B)$$



- Intuitive "Berechnung" der Minkowski-Summe:



- Achtung: das gelbe Polygon zeigt die Minkowski-Summe **modulo**(!) eventueller Translationen!



Komplexität

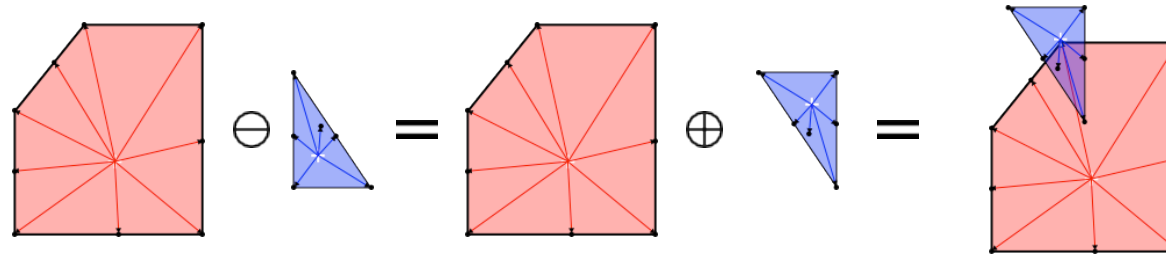
- Seien A und B Polygone mit n bzw. m Ecken
 - Sind A und B konvex, so ist $A \oplus B$ konvex und hat Komplexität $O(mn)$
 - Ist nur B konvex, so hat $A \oplus B$ die Komplexität $O(mn)$
 - Ist keines der beiden konvex, so hat $A \oplus B$ die Komplexität $O(m^2n^2)$
- Algorithmische Komplexität des Problems mit Divide & Conquer:
 - Sind A und B konvex, so kann $A \oplus B$ in Zeit $O(m + n)$ berechnet werden
 - Ist nur B konvex, so kann $A \oplus B$ randomisiert in Zeit $O(mn \log^2(mn))$ berechnet werden
 - Ist keines der beiden konvex, so hat $A \oplus B$ die Komplexität $O(mn^2 \log(mn))$



Schnitttest für zwei konvexe BVs

- Erkennen von Kollisionen durch die *Minkowski-Differenz*:

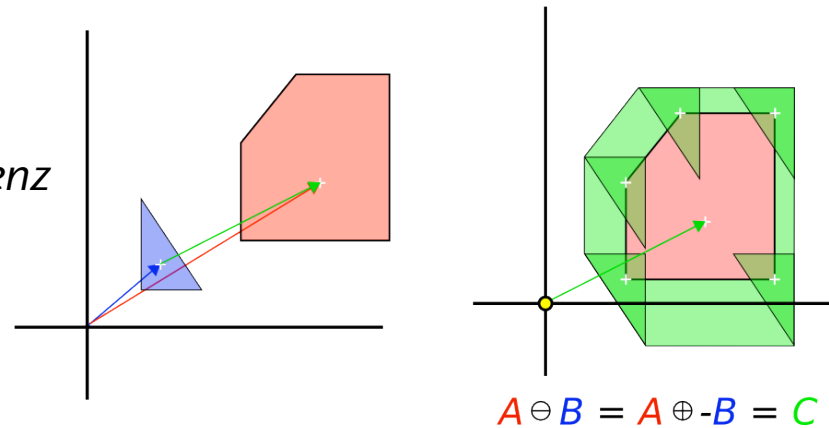
$$A \ominus B = A \oplus -B = C$$



- Für zwei Objekte ergibt sich somit:

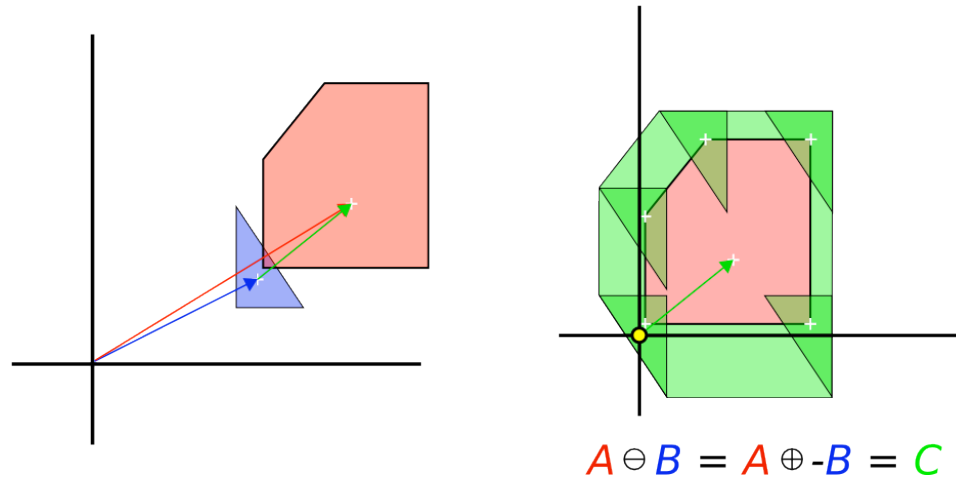
- Verschiebe beide Objekte mit derselben Translation, so daß der Ursprung in B liegt
- Berechne die *Minkowski-Differenz*
- A und B schneiden sich gdw.

$$0 \in A \ominus B$$





- Beispiel, in dem sich A und B schneiden:



- Der Koordinatenursprung befindet sich in der *Minkowski-Differenz C*



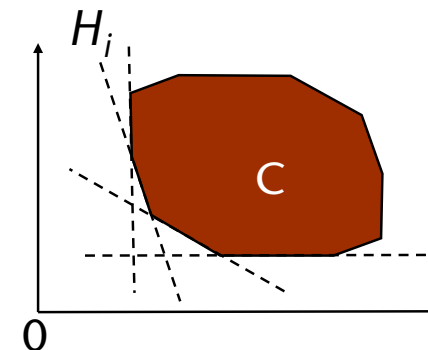
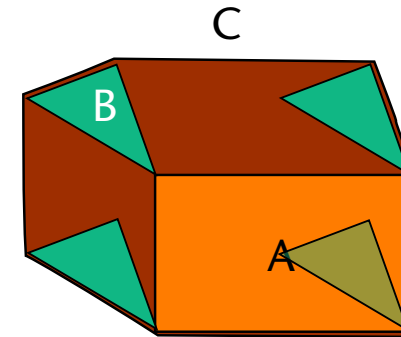
Oriented Bounding Boxes (OBB)

- Lemma "*Separating Axis Test*" (SAT):
Seien A, B zwei konvexe Polytope (Polyeder).
Wenn es eine separierende Ebene gibt,
dann auch eine, die parallel zu einer Seite von A oder B ist,
oder parallel zu mindestens einer Kante von A und einer von B.
[Gottschalk, Lin, Manocha; 1996]
- Abwandlung des "*separating plane*" Lemmas
("*separating axis*" Lemma):
Zwei konvexe Polyeder überlappen sich nicht \Leftrightarrow
es gibt eine Gerade, so daß die Projektion der beiden
Objekte auf dieser Geraden sich nicht überlappen.
Diese Achse heißt "*separierende Achse*".



Beweis des SAT-Lemmas

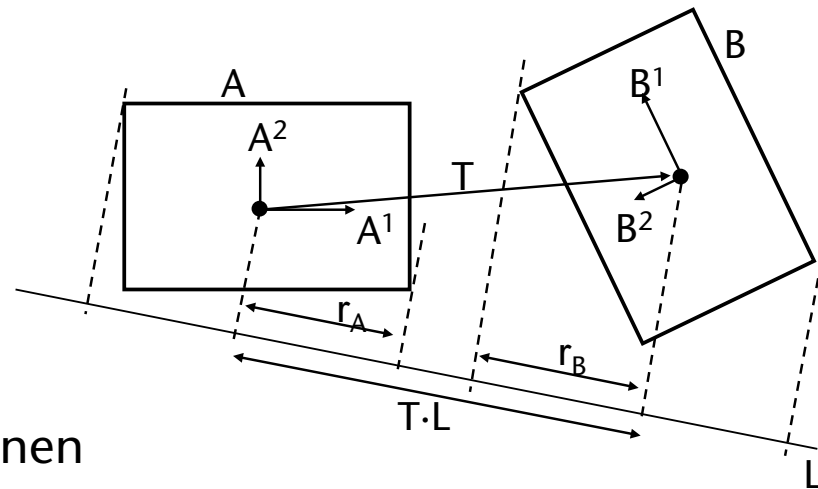
1. Annahme: A und B sind disjunkt
2. Betrachte Minkowski-Summe
3. Alle Faces von C sind entweder parallel zu einem Face von A, oder einem Face von B, oder parallel zu einer Kante von A *und* einer Kante von B
4. C ist konvex
5. $C = \bigcap_{i=1}^m H_i$
6. $A \cap B = \emptyset \Leftrightarrow (0, 0, 0) \notin C$
7. $\exists i : 0 \notin H_i$ (0 liegt außerhalb eines H_i)
8. Es gibt eine separierende Ebene für A und B, die parallel zu diesem H_i ist.





Der SAT für OBBs

- OBdA: rechne im Koord.system von Box A
- Box A definiert durch: $C, a^1A^1, a^2A^2, a^3A^3$
- Position von B relativ zu A ist definiert durch R & T
- Im Koord.system von A: B^i sind Spalten von R
- Gemäß Lemma müssen wir **nur einige spezielle** Ebenen betrachten, um die Separierung festzustellen
- A,B überlappen, wenn $|T \cdot L| < r_A + r_B$ für jede dieser Ebenen
 - L = Normale der Ebene
- Anzahl solcher "spezieller" Achsen bei Boxes = 15

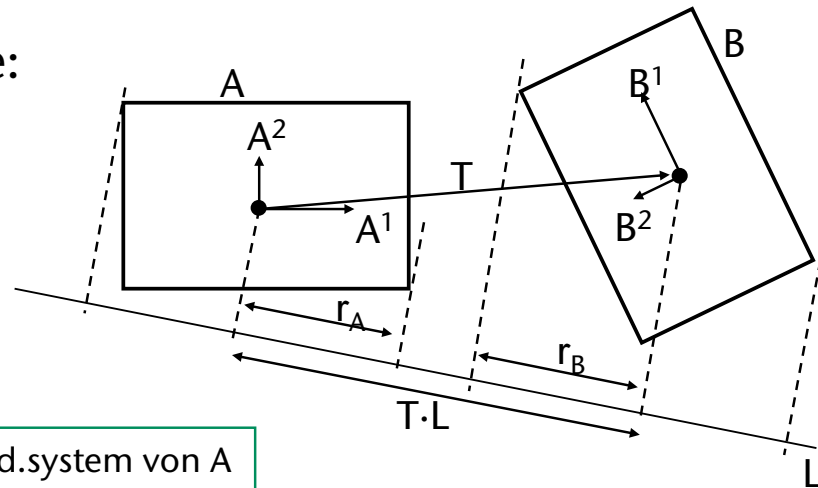




- Bsp.: $L = A^1 \times B^2$
- Zu berechnen: $r_A = \sum_i a_i |A^i \cdot L|$ (und analog r_B)
- Bsp. 2-ter Term der Summe:

$$\begin{aligned} & a_2 A^2 \cdot (A^1 \times B^2) \\ &= a_2 B^2 \cdot (A^2 \times A^1) \\ &= a_2 B^2 \cdot A^3 \\ &= a_2 R_{32} \end{aligned}$$

Wir rechnen in Koord.system von A
→ A^3 ist 3-ter Einheitsvektor, und
 B^2 ist 2-te Spalte von R



- Für jede der 15 Achsen hat man einen Test der Form

$$|T \cdot L| < a_2 |R_{32}| + a_3 |R_{22}| + b_1 |R_{13}| + b_3 |R_{11}|$$



Discretely Oriented Polytopes (k -DOPs)

- Definition:

Wähle k Vektoren $\mathbf{b}_i \in \mathbb{R}^3$ fest, k gerade, mit \mathbf{b}_i antiparallel zu $\mathbf{b}_{i+k/2}$.

k -DOPs sind als Volumen beschrieben durch

$$D = \bigcap_{i=1..k} H_i \quad , \quad H_i : \mathbf{b}_i \cdot \mathbf{x} - d_i \leq 0$$

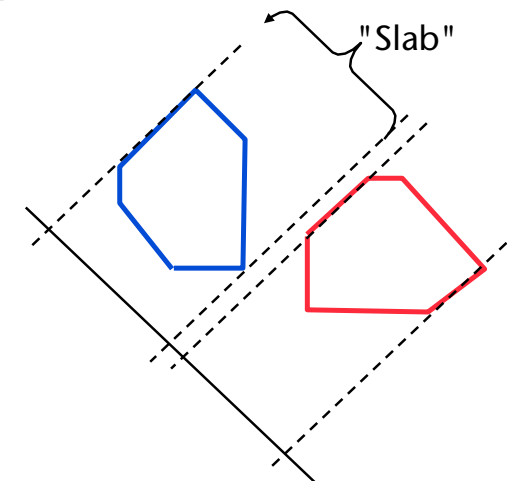
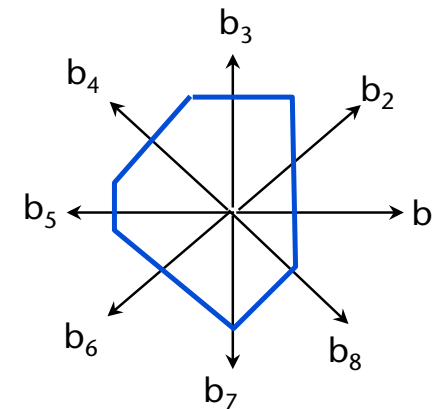
- Beschreibung eines k -DOP: $D = (d_1 \dots d_k) \in \mathbb{R}^k$

- Überlappungstest:

$$D^1 \cap D^2 = \emptyset \Leftrightarrow$$

$$\forall i = 1, \dots, \frac{k}{2} : \left[d_i^1, d_{i+\frac{k}{2}}^1 \right] \cap \left[d_i^2, d_{i+\frac{k}{2}}^2 \right] = \emptyset$$

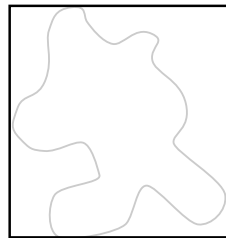
→ $k/2$ Intervall-Tests



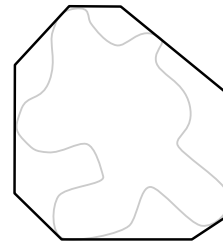


Eigenschaften

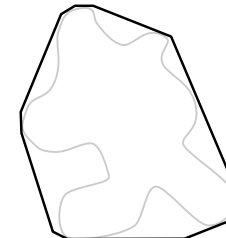
- AABBs sind spezielle DOPs
- Überlappungstest $\in O(k)$, k = Anzahl Orientierungen
- Beliebig genaue Approximation der konvexen Hülle



k=4



k=8



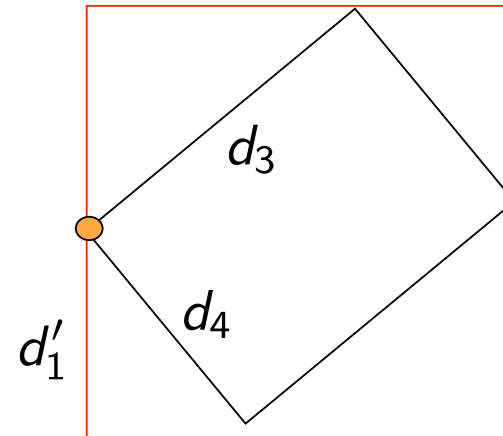
k=12



Overlap test of DOPs

- Algorithmus für "schiefe" DOPs:
 - Objektbewegung: Rotation R & Translation T
 - Neuer DOP nach affiner Transformation des Objektes:

$$d'_i = \mathbf{B}_i \begin{pmatrix} \mathbf{b}_{j'_1} \\ \mathbf{b}_{j'_1} \\ \mathbf{b}_{j'_1} \end{pmatrix}^{-1} \begin{pmatrix} d_{j'_1} \\ d_{j'_1} \\ d_{j'_1} \end{pmatrix} + \mathbf{B}_i T,$$
$$\mathbf{b}_j = \mathbf{B}_i R^{-1}$$

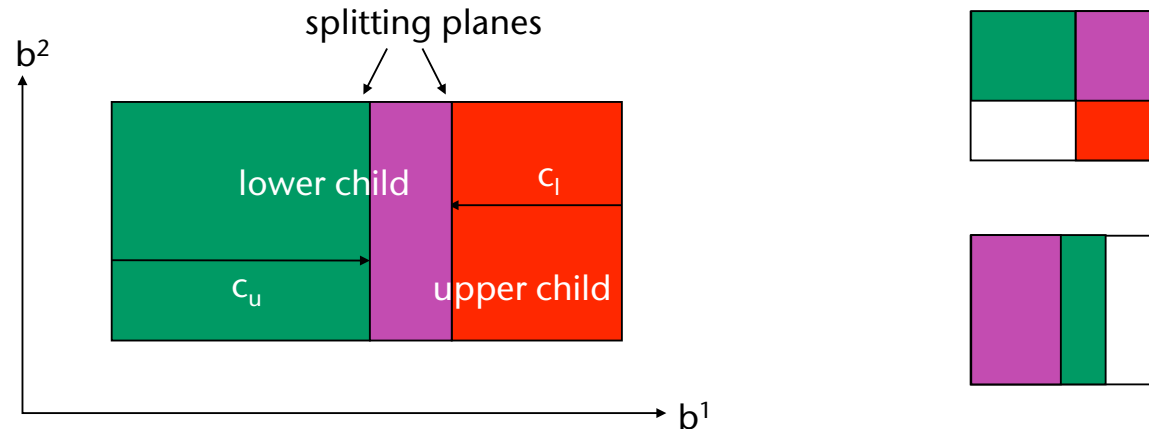


- Korrespondenz j'_i identisch für alle DOPs einer Hierarchie
- Aufwand: $O(k)$, früher $O(k^2)$



Restricted Boxtrees (Variante von k-d Trees)

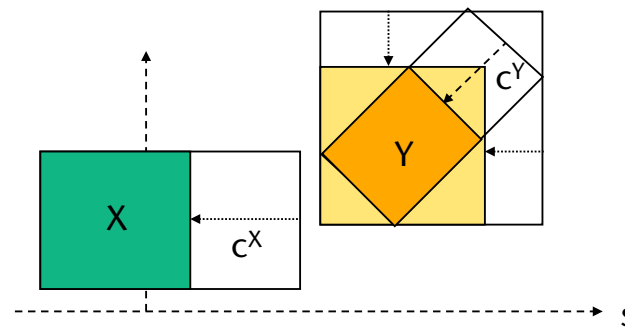
- Kombination von k-d tree und AABB:



- Speicher: 1 Float, 1 Achsen-ID, 1 Pointer (= 9 Bytes)
- Weitere Namen:
 - BIH (Bounding Interval Hierarchy)
 - SKD-Tree (spatial kd-Tree)



- Overlap Tests durch Re-Alignment:
12 FLOPs (mit kleinem Trick: 8.5)



- SAT: 82 FLOPs
- SAT lite: 24 FLOPs
- Sphere test: 29 FLOPs

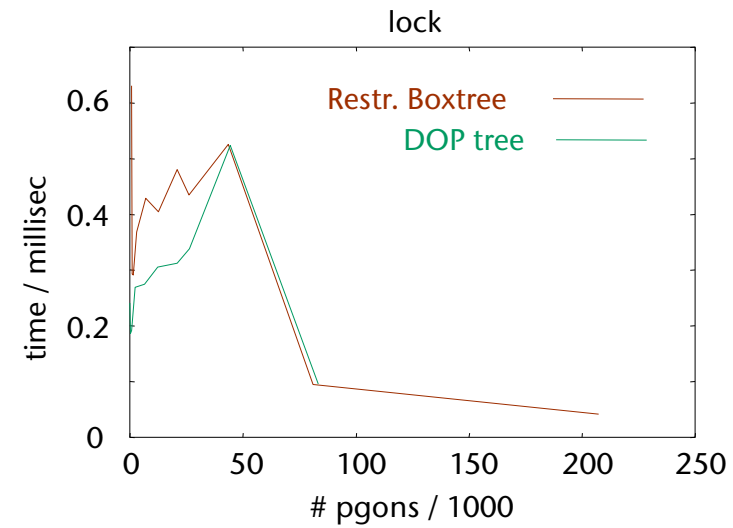
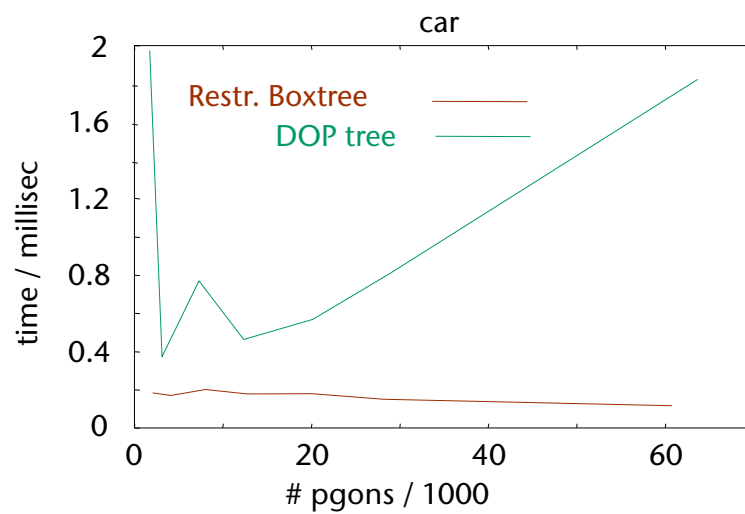
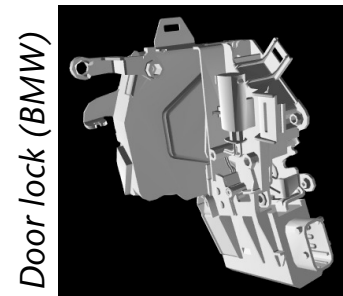
Mehr dazu in

<http://zach.in.tu-clausthal.de/papers/vrst02.html>



Performance

- Bsp. *Boxtree*:





Konstruktion von BV-Hierarchien

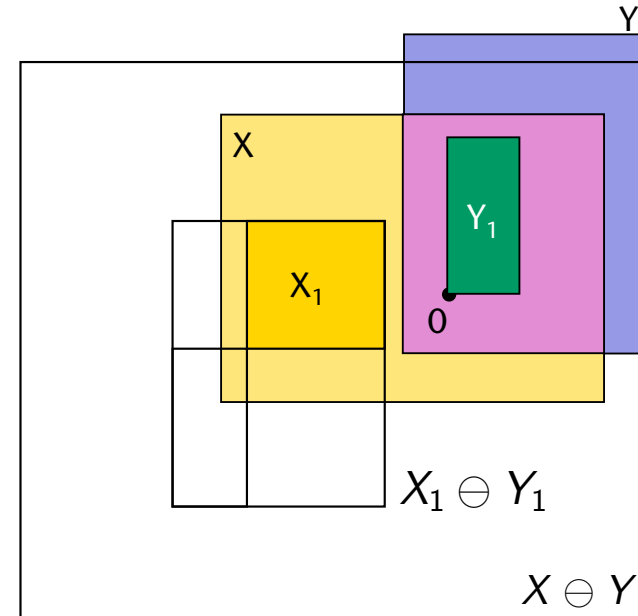
- Hierarchie schlecht → Kollisionserkennung dauert lange.
- Algorithmus: *top-down*
 1. Berechne BV um gegebene Polygon-Menge
 2. Splitte Polygon-Menge
- Split-Kriterium?
- Erwartete Traversierungskosten:

$$C(X, Y) = 4 + \sum_{i,j=1,2} P(X_i, Y_j) C(X_i, Y_j)$$
$$\approx 4(1 + P(X_1, Y_1) + \dots + P(X_2, Y_2))$$



- Eine Abschätzung von $P(X_i, Y_j)$
- Hilfsmittel dabei:
die Minkowski-Summe
- Erinnerung:

$$X_i \cap Y_j = \emptyset \Leftrightarrow 0 \notin X_i \ominus Y_j$$



- Die Wahrscheinlichkeit ist somit

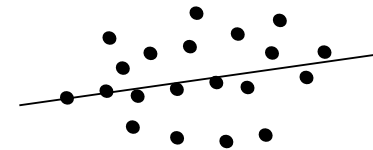
$$P(X_i, Y_j) = \frac{|\text{günstige Fälle}|}{|\text{mögliche Fälle}|} = \frac{\text{vol}(X_i \ominus Y_j)}{\text{vol}(X \ominus Y)} = \frac{\text{vol}(X_i \oplus Y_j)}{\text{vol}(X \oplus Y)}$$
$$\approx \frac{\text{vol}(X_i) + \text{vol}(Y_j)}{\text{vol}(X) + \text{vol}(Y)}$$

- Fazit: Minimiere Summe der Volumen der Kind-BVs.

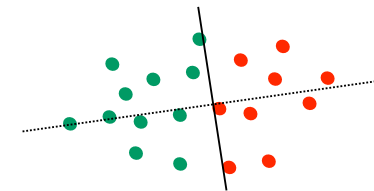


Algorithmus

1. Orientierung für "gute" *Splitting-Ebene* aus PCA



2. Suche Minimum gemäß Volumen-Kriterium



■ Komplexität bei *Plane-Sweep*:

$$T(n) = cn + T(\alpha n) + T((1 - \alpha)n) \in O(n \log n)$$